

简便最可靠的方法，避免过多纯化步骤。

几年来，我们实验室曾先后采用过电洗脱法，HPA 吸附法，玻璃粉及玻璃纤维吸附法等，但效果都不甚满意。近年来采用离心式 DE-81 纸电洗脱法，取得相当满意的效果。我们认为此法兼有简便、快速、回收率高，样品纯度好等优点。我们用此法回收的 DNA 进行多种限制性内切酶酶解、缺口翻译标记<sup>32</sup>P 以及重组 DNA 的连接反应等，都取得好的结果。DE-81 是容易购到的一种离子交换型纤维素纸，另外不需任何特殊设备与材料。因此作者认为这是一种值得推广的切实可行方法。

### 参考文献

- [1] Thuring, R. W. J. et al.: *Anal. Biochem.*, **66**, 213, 1975.
- [2] Wheeler, F. C. et al.: *Anal. Biochem.*, **78**, 260, 1977.
- [3] Maxam, A. M. et al.: *Methods in Enzymology* (Grossman L. and Moldave K., eds.), Vol. 65, Part 1, 499—560, 1980. Academic Press, New York.

York.

- [4] Wu Ray et al.: *Methods in Enzymology* (Wu R. ed.), vol. **68**, 176—182, 1979, Academic Press, New York.
- [5] Vogelstein, B. et al.: *Proc. Nat. Acad. Sci., U. S. A.*, **76**, 615, 1979.
- [6] Blin, N. et al.: *FEBS Letter*, **53**, 84; 1975.
- [7] Smith, N. O. *Methods in Enzymology* (Grossman L. and Moldave K. eds.), vol. **65**, 371, 1980, Academic Press, New York.
- [8] Leedeboer, A. M. et al.: *B. B. A.*, **520**, 498, 1978.
- [9] Zassenhaus, H. P. et al.: *Anal. Biochem.*, **125**, 125, 1982.
- [10] Girvitz, S. C. et al.: *Anal. Biochem.*, **106**, 492, 1982.
- [11] Winberg, G. et al.: *Nucleic Acid Res.*, **8**, 253, 1980.
- [12] Dretzen, G. et al.: *Anal. Biochem.*, **112**, 295, 1981.
- [13] David, B. Danner.: *Anal. Biochem.*, **125**, 139, 1982.
- [14] Southern, E.: *Methods in Enzymology* (Wu R. ed.), vol. **68**, 152, 1979. Academic Press, New York.
- [15] Hayward, G. S. et al.: *J. Molecular Biol.*, **63**, 397, 1972.

〔本文于1983年10月17日收到〕

## 几种生物大分子的激光拉曼光谱

孙永泰 朱克莉

(中国科学院生物物理所, 北京)

第一个生物大分子——溶菌酶的激光拉曼光谱发表于 1968 年。两年后 R. C. Lord 等用浓溶菌酶水溶液实验，对其大部分拉曼谱带作了指认。1970 年 Rimai 等人发表了胡萝卜素、番茄红素、番茄组织和视网膜中视蛋白的共振拉曼光谱。随后十年，拉曼光谱在生物学领域中应用发展极其迅速，对各种生命物质进行了广泛研究。

激光拉曼光谱用于生物学研究最突出的优点是水对谱图的干扰甚少，而大部分生命现象却发生在水溶液中；拉曼光谱的谱带丰富，可获得较多信息；此外还有样品用量少，可测量各种物理状态下的样品。它可以补充和扩展其它技

术(如 X 射线衍射、核磁共振、荧光、圆二色性)的信息，目前它已成为分子生物学研究的有用工具。

本文介绍我们获得的五种拉曼光谱，其中溶菌酶、胰岛素、二棕榈酰磷脂酰胆碱的拉曼光谱，国外已发表<sup>[1-3]</sup>。 $\mu_2$  RNA 和眼镜蛇细胞毒素的图谱未见报道。在第二部份，我们还就几年来在实验中摸索到的一些经验，作一介绍。

### 一、生物大分子的拉曼光谱

#### 1. 材料和方法

溶菌酶：二次重结晶（上海东风试剂厂），用重蒸水溶解，浓度 100mg/ml，以 4000 转/分

高速离心除去不溶物。

胰岛素(上海东风试剂厂),以 pH2 的盐酸溶解,浓度为 50mg/ml, 高速离心除去不溶物。

$\mu_2$ -RNA: 由  $\mu_2$ -RNA 噬菌体提取, 分子量为  $1.1 \times 10^6$ , 浓度约为 20mg/ml, 生物物理所张继仁提供。

眼镜蛇细胞毒素(生物物理所七室桂路路提供): 用重蒸水溶解, 浓度 50mg/ml。

二棕榈酰磷脂酰胆碱(DPPC, 美国 SIGMA 公司产品), 经超声波分散呈乳状物, 浓度为 100 mg/ml。

谱图由 JYT-800 三单色器拉曼光谱仪记录, 激光波长 5145 Å, 功率 380—400mW, 狹缝宽度 700—1000 微米, 扫描速度 0.4—1 波数/秒, 灵敏度  $3 \times 10^3$  光子数/分, 时间常数 1 秒。

溶菌酶、胰岛素、 $\mu_2$ -RNA 使用 0.3cc 液体池。蛇毒、DPPC 使用平底毛细管, 光束沿毛细管的轴方向照射, 用量为 10 微升。

谱仪配置 Nicolet 1180 计算机作信号平均(累加), 累加 4—10 次。眼镜蛇细胞毒素为单次扫描。

## 2. 结果与讨论

### (1) 溶菌酶、胰岛素与蛇毒的拉曼光谱

a) 主链构象 研究蛋白质获得的主要信息是它们的主链构象( $\alpha$ 螺旋、 $\beta$ 折叠、无规卷曲),

它的特征主要反映在酰胺基团的振动频带上。拉曼灵敏的酰胺带是酰胺 I 和酰胺 III, 根据这些谱带所在的具体位置, 可以判断蛋白质的  $\alpha$  融旋、 $\beta$ -折叠或者无规卷曲以及环境对结构的影响<sup>[4]</sup>, 各种结构的谱带具体位置如表 1。

表 1 多肽、蛋白质构象的酰胺 I 和酰胺 III 带的位置

	酰胺 I	酰胺 III
$\alpha$ 融旋	$1654 \pm 5 \text{ cm}^{-1}$ 强	$1285 \pm 15 \text{ cm}^{-1}$ 弱
$\beta$ -折叠	$1670 \pm 5 \text{ cm}^{-1}$ 强	$1235 \pm 10 \text{ cm}^{-1}$ 强
无规卷曲	$1665 \pm 5 \text{ cm}^{-1}$ 强	$1246 \pm 5 \text{ cm}^{-1}$ 强

1976 年 Lippert 等利用聚赖氨酸在不同条件下有不同的主链构象, 定量地测定了多种蛋白质的结构, 结果与 X 射线衍射、圆二色性、旋光色散相一致<sup>[5]</sup>。

溶菌酶是一种胺醋酶, 具有抗菌素的特性, 它的一级和三级结构, 酶的活性中心等, 已研究得比较清楚。由图 1 可见它的主链构象集中在酰胺 I ( $1652 \text{ cm}^{-1}$ ) 和酰胺 III ( $1247 \text{ cm}^{-1}$ )。酰胺 I 受水的干扰较大, 不易观察。酰胺 III 成一宽峰, 中心在  $1247 \text{ cm}^{-1}$ , 相应于无规卷曲, 在  $1235 \text{ cm}^{-1}$  和  $1285 \text{ cm}^{-1}$  附近都能看到峰肩。它们分别相应于  $\alpha$  融旋和  $\beta$ -折叠结构。

天然 Zn-胰岛素由六个单体组成。由图 2 可见, 它的酰胺 III 主峰在  $1269 \text{ cm}^{-1}$ , 这主要是  $\alpha$  融旋构象的贡献, 亦有少量的  $\beta$  折叠成分;  $1239 \text{ cm}^{-1}$  带则相应于无规卷曲。

眼镜蛇细胞毒素的酰胺 III 主峰在  $1256 \text{ cm}^{-1}$ , 据此可以推断它为无规卷曲及少量的  $\alpha$  融旋。 $1235 \text{ cm}^{-1}$  附近的谱带很强, 表明它有相当多的  $\beta$ -折叠结构。它的酰胺 I 主峰在  $1674$

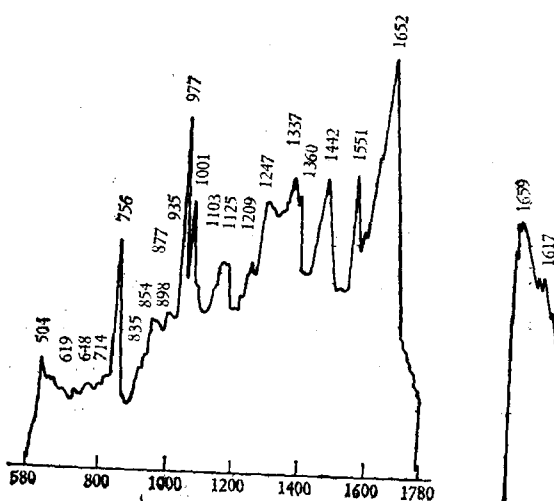


图 1 溶菌酶的拉曼光谱

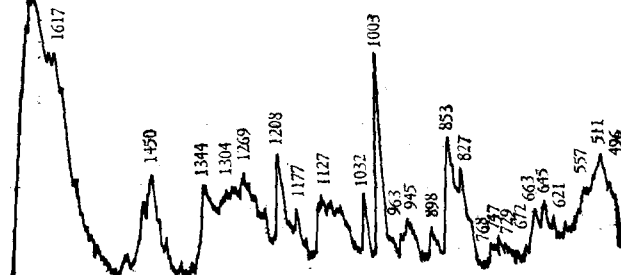


图 2 胰岛素的拉曼光谱

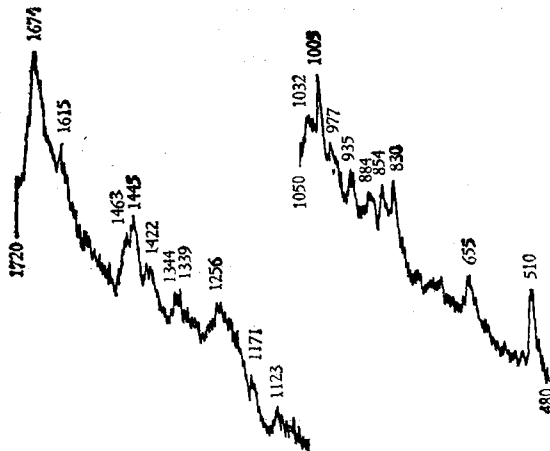


图 3 蛇毒的拉曼光谱

$\text{cm}^{-1}$ , 而且很强, 亦表明有大量的  $\beta$  折叠结构存在(见图 3)。

b) 侧链环境 蛋白质的某些残基的侧链谱带对环境变化灵敏。如酪氨酸、色氨酸、组氨酸、天门冬氨酸、谷氨酸。根据酪氨酸的  $850\text{cm}^{-1}$  和  $830\text{cm}^{-1}$  两峰的强度比, 可以判断残基“暴露”在分子的表面抑或是“埋藏”在分子的内部<sup>[6]</sup>。

两种类型的残基数计算公式如下:

$$\text{“暴露” } I_{850}/I_{830} \simeq 1.25$$

$$\text{“埋藏” } I_{850}/I_{830} \simeq 0.5$$

$$N_b + N_e = 1$$

$$0.5N_b + 1.25N_e = I_{850}/I_{830}$$

$N_b$ ,  $N_e$  分别为“埋藏”和“暴露”的残基分数。

$1361\text{cm}^{-1}$  带是“埋藏”色氨酸残基的特征。 $D_2O$  溶液中  $1386\text{cm}^{-1}$  的出现表明有“暴露”色氨酸存在<sup>[7]</sup>。

溶菌酶分子包含 129 个氨基酸, 其中只有 3 个酪氨酸, 谱带很弱,  $I_{850}/I_{830}$  接近 1。在水溶液中, 两个酪氨酸残基“暴露”在分子表面, 一个残基“埋藏”在分子的内部。图 1 中尖锐的  $1360\text{cm}^{-1}$  带表明分子包含有“埋藏”的色氨酸。

胰岛素单体有 4 个酪氨酸残基,  $I_{850}/I_{830} \simeq 1.2$ , 它的 4 个残基都“暴露”在分子表面。

眼镜蛇细胞毒素含有三个酪氨酸残基, 按上述方法计算, 有两个“埋藏”在分子的内部, 一个“暴露”在分子的表面。

c) 侧链构型 脯氨酸、蛋氨酸的二硫键, 碳硫键振动频率给出它们的几何构型<sup>[8]</sup>。

溶菌酶、胰岛素、蛇毒的 S—S 键振动频率分别为  $504\text{cm}^{-1}$ ,  $511\text{cm}^{-1}$  和  $510\text{cm}^{-1}$ , 它们都属于扭曲式-扭曲式-扭曲式结构。

## (2) $\mu_2$ RNA 的拉曼光谱(图 4)

核酸的拉曼谱带主要来自碱基, 根据谱带特征可以鉴别碱基的存在, 如  $G 607\text{cm}^{-1}$ ,  $A 720\text{cm}^{-1}$ ,  $C + U 780\text{cm}^{-1}$ 。

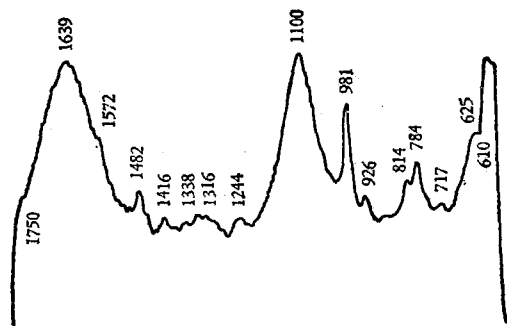


图 4  $\mu_2$  RNA 的拉曼光谱

不同的主链构象 (A、B、C 型) 有不同的  $O-P-O$  基团振动频率, 它们通常在  $750-850\text{cm}^{-1}$ <sup>[9]</sup>。A 型结构的 RNA 频率为  $814\text{cm}^{-1}$ 。因此,  $\mu_2$  RNA 属于 A 型构象。磷酸基团的另一振动频率为  $1100\text{cm}^{-1}$ , 它来自  $-PO_2^-$  基团的伸缩振动,  $814\text{cm}^{-1}$  带与  $1100\text{cm}^{-1}$  带强度之比反映核酸主链的有序度。完全有序比值为 1.66, 完全无序比值为零<sup>[10]</sup>。

## 3. DPPC 的拉曼光谱(图 5)

$10-300\text{cm}^{-1}$  区, 它们是纵向声子模式, 是整个 C—C 链的风琴式运动, 频率反比于全反式键的数目, 这些谱带对构象很敏感。但是, 低频带较难观测。另外, 分散体或囊泡并不能表现出这些谱带。 $1000-1150\text{cm}^{-1}$  区为 C—C 伸缩振动模式, 又称骨架光学模式, 它由三个带组成( $1064\text{cm}^{-1}$ ,  $1090\text{cm}^{-1}$  和  $1133\text{cm}^{-1}$ ),  $I_{1133}$  和  $I_{1090}$  之比常用来推测全反式键的比例和链内的纵向秩序<sup>[11]</sup>。实际上  $1090\text{cm}^{-1}$  带由扭曲式旋转异构体产生,  $1133\text{cm}^{-1}$  带由反式旋转异构体产生, 链内的纵向秩序起源于全反式结构, 扭曲式结构影响其有序度。 $2800-2900\text{cm}^{-1}$  为 C—H 伸

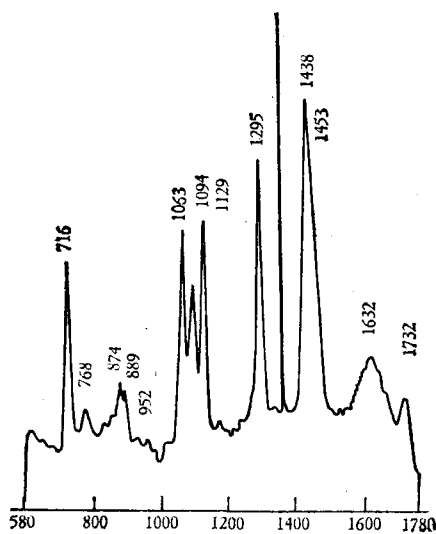


图 5 DPPC 的拉曼光谱

缩振动区，次甲基的对称伸缩振动为  $2850\text{cm}^{-1}$ ，不对称伸缩振动为  $2890\text{cm}^{-1}$ ，因此根据带的形状和强度可以用来推测链间秩序。

其它谱带， $\text{CH}_2$  卷曲振动  $1290\text{cm}^{-1}$ ； $\text{CH}_2$  弯曲振动  $1450\text{cm}^{-1}$ ；极性头基 C—N 伸缩振动  $720\text{cm}^{-1}$ ，—O—P—O—基团伸缩振动  $757\text{cm}^{-1}$ ，—PO<sub>2</sub><sup>-</sup> 基团伸缩振动  $1100\text{cm}^{-1}$ 。

## 二、实验技术讨论

拉曼光谱实验中常遇到如荧光干扰、稀溶液的灵敏度低、光效率低等问题，需要作很大努力才能得到可用的谱图。

**1. 荧光干扰** 荧光一般比拉曼强几个数量级，微量的荧光污染就能影响拉曼效应的观测，轻则基线严重倾斜，重则信号全部淹没。这种荧光干扰与物质本身的荧光不同，它的峰很宽，往往在几百至上千波数范围，实验时检测系统的灵敏度不能开得足够大检测信号，也无法用太大的激光功率来获得较强的散射。

解决这一问题的办法是样品要经过严格的“净”化，如多次重结晶，层析等。干扰不十分严重时，可以在激光下照射几十分钟，荧光现象会减至可接受的程度。

**2. 样品的光学非均匀性** 总的拉曼散射 = 丁铎尔散射 + 瑞利散射 + 拉曼散射。为了提高

光效率，溶液需先离心除去悬浮质点，样品中注意防止微气泡产生。人工膜、细胞等分散体，光束前面的样品会遮挡散射光，应尽量让入射光束靠近液体池的前沿。

**3. 灵敏度低** 生物大分子的信号弱，浓度要较高，通常为 5—30%。来源困难的样品要尽量增加光效率，减少用量。透明和半透明液体使用平底毛细管效果很好。平底毛细管是将毛细管的封闭底端磨成光学平面，激光束沿毛细管轴向射入，这样，5—10 $\mu\text{l}$  的样品就可以有 10 mm 左右光程，大大增加了光效率。

提高灵敏度的方法有以下几种：

1) 照明 激光束要严格聚焦，与样品池入射光学面垂直，并与狭缝平行。

2) 成象 收集透镜要准确聚焦，对准，使象尽量进入狭缝。

3) 扫描速度 慢速扫描有利于光子计数器使用较高的灵敏度和长的时间常数，相反，因光子计数器来不及响应，峰变得矮而宽。

4) 狹缝宽度 生物大分子的分子直径大部在胶体范围，散射光束所成的像并不像真溶液那样细而清晰，要使用较宽的狭缝才可能获得高的光效率。三单色器谱仪比双单色器谱仪增加了光栅、反射镜的衰减，造成灵敏度进一步下降。所以使用三单色器谱仪时亦要求较宽的狭缝。由于散射光经过三次分光，分辨率仍然很高，低频部分瑞利散射亦很少。

5) 计算机应用 大部分生物大分子的拉曼信号比噪声水平高不了多少，使用计算机作信号平均(累加)可以提高灵敏度。因信号在固定频率处有峰值，可以累加起来，而噪声是随机的，在某一位置上有时为正，有时为负，相互抵消，从而提高了信-噪比。信号/噪声与扫描次数的关系如下，

$$\text{信号}/\text{噪声} = N/\sqrt{N} = \sqrt{N}$$

N 为扫描次数。

某些荧光较强的样品，基线严重倾斜，无法对整个图谱(如  $400\text{--}1800\text{cm}^{-1}$ )扫描，利用计算机分段累加，调平基线，然后将几个片段接上，即可获得一个完整的谱图。由图 3 可见，未使

用计算机的蛇毒图谱,分为基线倾斜两个部分。而胰岛素,  $\mu_2$  RNA 因使用分段累加、计算机调平基线的办法,谱图成为一整体,看不到断开的地方,亦无需通过描图将其连接起来。

## 参 考 文 献

- [1] Lord, R. C. et al.: *J. Mol. Biol.*, **50**, 509, 1970.
- [2] Nai-Teng Yu, et al.: *J. Mol. Biol.*, **70**, 117, 1972.
- [3] Gaber, B. P. et al.: *Biochim. Biophys. Acta*, **465**, 260, 1977.
- [4] Frushous, B. C. et al.: *Advances in Infrared and*

- [5] Lippert, J. L. et al.: *J. Am. Chem. Soc.*, **98**, 7075, 1976.
- [6] Siamwiza, M. N. et al.: *Biochemistry*, **14**, 4870, 1975.
- [7] Kitagawa, T. et al.: *Biopolymers*, **18**, 451, 1979.
- [8] Sugeta, H. et al.: *Bull. Chem. Soc. Jpn.*, **46**, 3407, 1973.
- [9] Erburth, S. C. et al.: *Biopolymers*, **14**, 247, 1975.
- [10] Thomas, G. J.: *Vibration. Spectra Struct.*, **3**, 239, 1975.

【本文于 1983 年 12 月 26 日收到】

# 细胞电泳技术的临床应用

孙 玲

(北京铁路总医院免疫室)

1928 年 Abramson 应用细胞电泳技术对血细胞膜结构开始了探讨。后来 Larcan 和 Zeiller 等人<sup>[1]</sup>也对各种血液成份以及癌细胞,特别对血小板在凝集、粘附、血栓形成中的作用与表面结构及电荷密度变化的关系等进行了研究。国内有人利用细胞电泳技术,对诊断肿瘤细胞免疫反应,活血化瘀等中医理论的探讨作了一些工作<sup>[2]</sup>。目前应用细胞电泳技术,对细胞膜的研究已从细胞水平进入到分子水平。尤其自 Caspary 和 Field 1970 年把这一技术与免疫反应相结合,建立起研究免疫反应的一项新技术,它可检测免疫活性细胞的致敏程度<sup>[3]</sup>。这对传染病、自身免疫性疾病,组织配型,以及肿瘤早期和定位的特异性诊断的研究开创了一个新局面。本文简要介绍细胞电泳技术在临床应用方面的进展。

## 一、淋巴细胞膜标志的研究<sup>[4,5]</sup>

通常免疫活性细胞的膜标志,可用生物学、化学,以及物理学等方法进行区分。近年来应用细胞电泳方法研究细胞膜标志,发现当测量

一定数量血淋巴细胞时,就可把两个同质性群体划出两个不同的图相,一个是慢泳动速度的小群体,代表着 B 淋巴细胞,另一个是快泳动速度的主要群体,代表着 T 淋巴细胞。

应用细胞电泳检查先天性无胸腺小鼠各免疫器官时,发现只有慢泳动速度的淋巴细胞单一群体。在人类先天性胸腺发育不全综合症 (Digeorge Syndrome) 患儿的末稍血中,只有一个慢泳动速度的 B 淋巴细胞群体,而在低  $\gamma$  球蛋白血症 (Bruton type Hypogammaglobulinemia) 患者血中,只有一个快泳动速度的 T 淋巴细胞群体,这些人和鼠体中均可获得的相同结果,提示细胞电泳可区分淋巴细胞群体,同时通过对动物的研究也有助于对人类免疫现象的了解。

Sabolovic 等测量细胞电泳时,也同时作了其它细胞膜标志的研究<sup>[6]</sup>。如表面免疫球蛋白,羊红细胞受体、补体受体以及植物血凝素和刀豆素 A 反应性等试验,发现这些膜标志的检查结果与细胞电泳测量所得的结果密切相关,证实了细胞电泳技术,可作为免疫活性细胞膜标志研究方法之一,并已应用于临床。